

# $B^0-\bar{B}^0$ 体系重子衰变的 CP 破坏效应\*

杜东生 邢志忠

(中国科学院高能物理研究所, 北京 100039)

## 摘 要

本文研究了  $B_d^0-\bar{B}_d^0$  和  $B_s^0-\bar{B}_s^0$  系统二体重子衰变中的 CP 不守恒效应. 我们讨论了两种实验背景: (1)  $B\bar{B}$  对在  $Z^0$  共振峰不相干产生, (2) 电荷共轭宇称  $C = +1$  的  $B\bar{B}$  对在  $Y(4S)$  共振峰以上产生. 我们估算了检验该效应所需的  $b\bar{b}$  对数目. 对于衰变  $B_d^0 \rightarrow P\bar{P}$ ,  $\Delta^{++}\bar{\Delta}^{--}$  和  $\Delta^0\bar{\Delta}^0$ ,  $N_{b\bar{b}} \sim 10^7-10^8$ .

## 一、引 言

由 ARGUS 和 CLEO 实验组先后观测到的  $B_d^0-\bar{B}_d^0$  质量混合<sup>[1]</sup>, 是继  $K_L-K_S$  以后又一个二级弱相互作用的表现. 至今, 已有大量工作探讨了  $B^0-\bar{B}^0$  体系介子衰变可能具有的 CP 破坏效应<sup>[2,3]</sup>. 然而, 有关  $B^0-\bar{B}^0$  重子衰变中 CP 不守恒问题的研究还很少<sup>[4]</sup>. 这里我们将采用 Sachs 等人处理  $B^0-\bar{B}^0$  介子衰变的技术<sup>[3]</sup>, 来系统地讨论  $B^0-\bar{B}^0$  两体重子衰变中的 CP 破坏效应. 我们的考虑限于那些  $B^0$  与  $\bar{B}^0$  均能够衰变到的末态, 当然这类末态可以不是 CP 本征态; 而且, 我们避免具体计算这些衰变的振幅, 以减少处理有关强子矩阵元时所带来的理论上的不确定性.

本文的第二部分, 将集中讨论正负电子在  $Y(4S)$  共振峰以上对撞, 同时产生 C 宇称为偶的  $B^0\bar{B}^0$  对的实验情形; 在第三部分, 我们要研究  $B^0\bar{B}^0$  对在  $Z^0$  共振峰不相干产生时  $B^0-\bar{B}^0$  重子衰变的 CP 破坏效应. 最后, 我们将对本文的处理方法和结果给予评注.

## 二、正负电子对撞: 在 $Y(4S)$ 共振峰以上产生 $B^0\bar{B}^0$ 对

在  $Y(4S)$  能区研究 B 介子及其衰变性质有很多优越性<sup>[5,6]</sup>. 但是, 要在  $Y(4S)$  共振峰上探测由  $B^0-\bar{B}^0$  混合引起的 CP 破坏效应, 还存在一些障碍. 我们知道,  $B\bar{B}$  对在  $Y(4S)$  峰以 P 波产生, 处于味道相干态. 因而, 需要考虑电荷共轭的  $B^0$  与  $\bar{B}^0$  的联合衰变率, 以及  $B^0$ 、 $\bar{B}^0$  衰变的不同时间差. 在这种情况下, CP 不对称性表示为<sup>[5,6]</sup>

$$\alpha_{C=\pm 1}(t, t') \propto \exp[-\Gamma(t+t')] \sin[\Delta m(t \pm t')]. \quad (1)$$

对于  $Y(4S)$  峰,  $C = -1$ . 如果实验上不能够探测  $t$ 、 $t'$  的差值, 那么对时间积分的 CP 不守恒表达式将为零. 克服这一困难的途径是在  $Y(4S)$  共振峰以上实现正负电子

本文 1991 年 5 月 27 日收到.

\* 国家自然科学基金资助.

的对称对撞. 具体说来, 在  $B_d\bar{B}_d^*$  对产生阈以上, 但在  $B_d^*\bar{B}_d$  对产生阈以下, 正负电子对撞产生的  $b\bar{b}$  末态将以  $B_d\bar{B}_d^* + B_d^*\bar{B}_d$  为主. 当  $B_d^*(\bar{B}_d^*)$  衰变成  $B_d\gamma(\bar{B}_d\gamma)$  时, 就会得到  $C = +1$  的  $B_d^0-\bar{B}_d^0$  对. 这时, (1) 式对时间积分不为零, 因此, 实验上可以去测量与时间无关的 CP 破坏参量. 当然, 正负电子在  $\Upsilon(4S)$  共振峰以上对撞, 我们获得的  $b\bar{b}$  反应截面将小于在  $\Upsilon(4S)$  共振峰处的  $b\bar{b}$  截面, 至少小三、四倍. 由此, 需要的  $b\bar{b}$  事例数将增多. 这是该途径的不利的一面.

首先写出  $B^0-\bar{B}^0$  初态的量子力学表示<sup>[5]</sup>

$$|i\rangle_0 = \frac{1}{\sqrt{2}} [ |B_d^0(k)\bar{B}_d^0(\bar{k})\rangle_0 + (-1)^c |B_d^0(\bar{k})\bar{B}_d^0(k)\rangle_0 ], \quad (2)$$

这里  $k, \bar{k}$  表示动量;  $(-1)^c$  是  $B_d^0\bar{B}_d^0$  对的 C 宇称. 经计算可以给出  $B_d^0$  与  $\bar{B}_d^0$  衰变到 CP 共轭末态  $f$  与  $\bar{f}$  的衰变率  $R$  和  $\bar{R}$ , 它们随不同时间  $t$  和  $t'$  演化:

$$\begin{aligned} R(B_d^0\bar{B}_d^0 \rightarrow \bar{B}_d^0 f) &\propto \exp[-\Gamma(t' + t)] \cdot \left\{ \frac{1}{2}(1 + |\lambda|^2) \right. \\ &\quad \left. + \frac{1}{2}(1 - |\lambda|^2) \cos[\Delta m(t' + (-1)^c t)] - \text{Im}\lambda \sin[\Delta m(t' + (-1)^c t)] \right\}, \\ \bar{R}(B_d^0\bar{B}_d^0 \rightarrow B_d^0 \bar{f}) &\propto \exp[-\Gamma(t' + t)] \cdot \left\{ \frac{1}{2}(1 + |\lambda|^2) \right. \\ &\quad \left. + \frac{1}{2}(1 - |\lambda|^2) \cos[\Delta m(t' + (-1)^c t)] + \text{Im}\lambda \sin[\Delta m(t' + (-1)^c t)] \right\}, \quad (3) \end{aligned}$$

其中定义:

$$\begin{aligned} \lambda &= \frac{q}{p} x, \quad \frac{q}{p} = \sqrt{\frac{M_{12}^* - i\Gamma_{12}^*/2}{M_{12} - i\Gamma_{12}/2}}, \\ x &= \frac{A(\bar{B}_d^0 \rightarrow f)}{A(B_d^0 \rightarrow f)}. \quad (4) \end{aligned}$$

在推导(3)式的过程中, 我们已经局限于考虑那些  $B_d^0$  与  $\bar{B}_d^0$  都能够衰变到的末态; 并且, 假定不存在振幅相干而引起的直接 CP 破坏效应, 即保证  $|A(B_d^0 \rightarrow f)| = |A(\bar{B}_d^0 \rightarrow \bar{f})|$ .

从方程(3), 很容易得出具有时间依赖性的 CP 不对称公式  $a_{C=\pm 1}$  (见(1)式). 然而, 在理论上和实验上, 更令人感兴趣的是对时间积分的 CP 破坏表达式  $\mathcal{A}_{C=\pm 1}$ :

$$\begin{aligned} \mathcal{A}_{C=\pm 1} &= \frac{\int_0^\infty \int_0^\infty dt dt' (R - \bar{R})}{\int_0^\infty \int_0^\infty dt dt' (R + \bar{R})} \\ &\approx \frac{2z}{(1+z^2)^2} \cdot \frac{-2\text{Im}\lambda}{(1+|x|^2) + (1-|x|^2) \frac{1-z^2}{(1+z^2)^2}}. \quad (5) \end{aligned}$$

这里,  $z = \Delta m/\Gamma \approx 0.7$  是  $B_d^0-\bar{B}_d^0$  混合参数<sup>[5]</sup>.  $B_d^0$  衰变到末态  $f$  的有效分支比为

$$\begin{aligned} B(B_{\text{phys}}^0 \rightarrow f) &= B(B_{\text{pure}}^0 \rightarrow f) \cdot \left[ \frac{1}{2}(1 + |x|^2) \right. \\ &\quad \left. + \frac{1}{2}(1 - |x|^2) \cdot \frac{1-z^2}{(1+z^2)^2} - \frac{2z}{(1+z^2)^2} \text{Im}\lambda \right]. \quad (6) \end{aligned}$$

有关  $\text{Im}\lambda$  的表达式见参考文献[3]中的表2。它们的数值可以在选取  $KM$  矩阵参数后算得。根据文献[7],我们取

$$s_1 \sim 0.22, s_2 \sim s_1^2, s_3 \sim 0.46s_1^2. \quad (7)$$

对于  $CP$  破坏相角  $\delta$ , 我们取  $\delta = 45^\circ$  来计算与夸克过程  $\bar{b} \rightarrow \bar{u}u\bar{d}$  相对应的衰变, 以提高该类衰变的  $CP$  不对称性; 取  $\delta = 90^\circ$  计算其它几类衰变。

现在, 让我们来估算实验上检验  $CP$  破坏参量  $\mathcal{A}_{C=+1}$  所需要的  $b\bar{b}$  数目(计算到三个标准偏差, 即  $3\sigma$ )<sup>[8]</sup>。

$$N_{b\bar{b}} = \frac{9}{\mathcal{A}_{C=+1}^2} \cdot \frac{1}{B(B_{\text{phys}}^0 \rightarrow f)\varepsilon} \quad (8)$$

其中  $\varepsilon$  是  $B_{\text{phys}}^0 \rightarrow f$  衰变模式的探测效率。

为了计算式(6)中的分支比  $B(B_{\text{pure}}^0 \rightarrow f)$ , 我们假设从真空中产生一对夸克  $q\bar{q}$  的几率比为

$$u\bar{u} : d\bar{d} : s\bar{s} : c\bar{c} \sim 2 : 2 : 1 : \xi \quad (9)$$

这里,  $\xi$  可望远小于1。在本文的后面会看到, 我们不需要假定  $\xi$  的具体数值。根据已有的文献, 我们确信(9)式的假设是合理的<sup>[9]</sup>。于是, 真空中产生一个  $q\bar{q}$  对的几率可以估计为

$$P(\text{vac.} \rightarrow u\bar{u}, d\bar{d}, s\bar{s}, c\bar{c}) \sim 2/5, 2/5, 1/5, \xi/5. \quad (10)$$

这也是一个很好的近似。除了(9)式与(10)式外, 我们还需要输入有关  $B$  衰变分支比的实验数值来估算  $B(B_{\text{pure}}^0 \rightarrow f)$ 。我们选择粒子表中给出的实验分支比<sup>[9]</sup>

$$B(B_d^0 \rightarrow D^-\pi^+) = (3.7 \pm 1.5) \times 10^{-3}. \quad (11)$$

下面我们举例说明估算衰变分支比的方法。以  $B_d^0 \rightarrow p\bar{p}$  为例, 画出  $B_d^0 \rightarrow D^-\pi^+$ 、 $B_d^0 \rightarrow \bar{D}^0\pi^0$  与  $B_d^0 \rightarrow p\bar{p}$  的夸克衰变图(见图1与图2)。假设在  $B_d^0 \rightarrow p\bar{p}$  衰变中旁观者图起主要作用, 而且  $B(B_d^0 \rightarrow D^-\pi^+)$  与  $B(B_d^0 \rightarrow \bar{D}^0\pi^0)$  具有相同量级, 则图1(b)与图2(a)的唯一差别在于  $KM$  因子的不同, 以及后者从真空中捞取一对  $u\bar{u}$  夸克。因此, 可以近似写出

$$\frac{B(B_d^0 \rightarrow p\bar{p})}{B(B_d^0 \rightarrow D^-\pi^+)} \sim \frac{|V_{ud}V_{ub}^*|^2}{|V_{ud}V_{cb}^*|^2} \cdot P(\text{vac} \rightarrow u\bar{u}). \quad (12)$$

将(7)、(10)两式代入上式, 得

$$B(B_d^0 \rightarrow p\bar{p}) \sim 1.3 \times 10^{-3}. \quad (13)$$

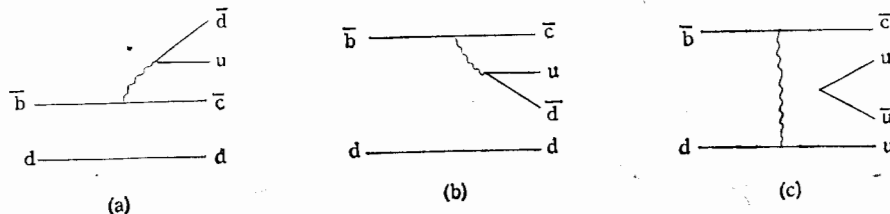


图 1

(a)  $B_d^0 \rightarrow D^-\pi^+$  衰变的旁观者图 (b)  $B_d^0 \rightarrow \bar{D}^0\pi^0$  衰变的内部  $W$  发射图  
 (c)  $B_d^0 \rightarrow \bar{D}^0\pi^0$  衰变的  $W$  交换图

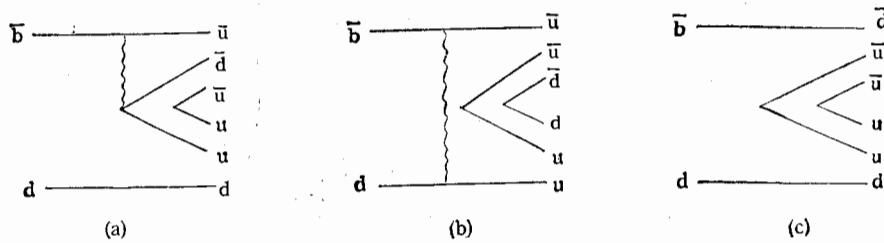


图 2  $B_d^0 \rightarrow P\bar{P}$  衰变

(a) 旁观者图 (b)  $W$  交换图 (c) 企鹅图

这里, 我们没有考虑内部  $W$  放射图的色压低效应。关于这个问题, 尚无确定的实验判据<sup>[10]</sup>。

仿造以上例子, 借助于(10)式、(11)式和  $KM$  矩阵因子, 我们计算了所有重子衰变的分支比。当衰变只通过  $W$  交换图进行时, 我们假设该交换图是主要衰变道, 并用方程(11)估算分支比; 当遇到内部  $W$  放射图时, 我们不考虑色压低; 当衰变同时通过旁观者图、 $W$  交换图和企鹅图时, 我们假设旁观者图起主要作用。参考 Mark III 关于粲粒子衰变的资料, 以上假设是合理的<sup>[10]</sup>。

每一个衰变模式的探测效率  $\epsilon$  可以通过对具体探测器的蒙特卡罗模拟而获得。至今, CLEO 实验组只给出少数几种  $B_d^0-\bar{B}_d^0$  二体重子衰变的探测效率(例如  $P\bar{P}, \Delta^{++}\bar{\Delta}^{--}$  和  $\Delta^0\bar{\Delta}^0$ )<sup>[11]</sup>。因而, 我们将首先估算  $\epsilon N_{b\bar{b}}$ , 然后再计算那些探测效率已知的过程的事例数  $N_{b\bar{b}}$ 。

我们将数值结果列于表 1 中。可以看出, 比较乐观的衰变道有

$$B_d^0, \bar{B}_d^0 \rightarrow p\bar{p}, \Delta^+\bar{\Delta}^-, p\bar{\Delta}^-, \Delta^+\bar{p}, n\bar{n}, \Delta^0\bar{\Delta}^0, n\bar{\Delta}^0, \Delta^0\bar{n}, \Sigma_c^+\bar{\Sigma}_c^-, \Lambda_c^+\bar{\Lambda}_c^-, \Sigma_c^+\bar{\Lambda}_c^-, \Lambda_c^+\bar{\Sigma}_c^-, \Sigma_c^0\bar{\Sigma}_c^0, \Xi_c^0\bar{\Xi}_c^0. \quad (14)$$

对  $B_d^0, \bar{B}_d^0 \rightarrow p\bar{p}$  过程, 所需的  $b\bar{b}$  对数为  $N_{b\bar{b}} \sim 2.4 \times 10^6$ , 这是非常有希望的衰变。

注意: 在我们的计算中, 并没有用到从真空中产生一对  $c\bar{c}$  的几率表达式  $P(\text{vac.} \rightarrow c\bar{c}) = \xi/5$ 。这是因为, 从真空捞取一对  $c\bar{c}$  的衰变模式也可以通过夸克过程  $\bar{b} \rightarrow \bar{c}d$  发生(该过程与  $P(\text{vac.} \rightarrow u\bar{u}, d\bar{d})$  相联系)。后者的贡献远大于前者, 因而前者可以忽略。所有这样的衰变在表 1 中都以星号(\*)标志。

对于  $B_d^0-\bar{B}_d^0$  衰变的情形, 采用  $e^+e^- \rightarrow B_d\bar{B}_d^* + \text{h.c.} \rightarrow B_d\bar{B}_d\gamma$  途径来获得  $C = +1$  的  $B_d^0\bar{B}_d^0$  对的方法并不好。在  $B_d\bar{B}_d^*$  情形, 我们可以调整对撞能量使它刚好在  $B_d\bar{B}_d^*$  的产生阈, 但低于  $\pi B_d\bar{B}_d$  的产生阈, 这样本底只有正负电子对撞过程中直接产生的  $B_d\bar{B}_d$  事例。但这种本底可以通过探测器较好的不变质量调制而压低。对于  $B_d\bar{B}_d^*$  对产生的情形,  $B_d\bar{B}_d^*$  对产生阈在  $B_d\bar{B}_d^*$  对与  $\pi B_d\bar{B}_d$  的产生阈以上。因此除了  $B_d\bar{B}_d^*$  事例外, 还存在大量  $B_d\bar{B}_d, B_d\bar{B}_d^*, \pi B_d\bar{B}_d, B_d\bar{B}_d$  本底。而且, 在  $B_d\bar{B}_d^*$  情形, CP 破坏参量  $\mathcal{A}_{C=\pm 1}$  比在  $Z^0$  峰的 CP 破坏参量  $C_f$  小得多。例如, 对末态为 CP 本征态的衰变,  $|x| = 1$  (见下节), 并有

$$C_f \approx -\frac{z \text{Im}\lambda}{1+z^2}. \quad (15)$$

但式(5)给出

表 1  $B_d^0, \bar{B}_d^0$  二体重子衰变道  $A_{C=+1}$ ; 分支比;  $b\bar{b}$  数目

Quark decay	$B_d^0, \bar{B}_d^0 \rightarrow f$	$A_{C=+1}$	$B(B_d^0, \bar{B}_d^0 \rightarrow f)$	$\epsilon N_{b\bar{b}}$	$\epsilon(\%)$	$N_{b\bar{b}}$				
$\bar{b} \rightarrow \bar{u}u\bar{d}$	$\Delta^{++}\bar{\Delta}^{--}$ (ex)	0.630	$5.0 \times 10^{-6}$	$2.7 \times 10^6$	12	$2.2 \times 10^7$				
	$\Sigma^+\Sigma^-$ (ex)		$2.5 \times 10^{-6}$	$5.6 \times 10^6$						
	$\Xi^0\bar{\Xi}^0$ (ex)		$1.3 \times 10^{-6}$	$1.1 \times 10^7$						
	$p\bar{p}$ (spec,ex,pen)		$1.3 \times 10^{-3}$	$1.1 \times 10^6$	45	$2.4 \times 10^6$				
	$\Delta^+\bar{\Delta}^-$ (spec,ex,pen)		$1.3 \times 10^{-3}$	$1.1 \times 10^6$						
	$\Delta^+\bar{p}$ (spec,ex,pen)		$1.3 \times 10^{-3}$	$1.1 \times 10^6$						
	$p\bar{\Delta}^-$ (spec,ex,pen)		$1.3 \times 10^{-3}$	$1.1 \times 10^6$						
	$n\bar{n}$ (spec,ex,pen)		$1.3 \times 10^{-3}$	$1.1 \times 10^6$						
	$\Delta^0\bar{\Delta}^0$ (spec,ex,pen)		$1.3 \times 10^{-3}$	$1.1 \times 10^6$						
	$\Delta^0\bar{n}$ (spec,ex,pen)		$1.3 \times 10^{-3}$	$1.1 \times 10^6$	1.3	$8.4 \times 10^7$				
	$n\bar{\Delta}^0$ (spec,ex,pen)		$1.3 \times 10^{-3}$	$1.1 \times 10^6$						
	$\Lambda^0\bar{\Lambda}^0$ (spec,ex,pen)		$6.3 \times 10^{-6}$	$2.2 \times 10^6$						
	$\Sigma^0\bar{\Sigma}^0$ (spec,ex,pen)		$6.3 \times 10^{-6}$	$2.2 \times 10^6$						
	$\Lambda_c^+\bar{\Sigma}^0$ (spec,ex,pen)		$6.3 \times 10^{-6}$	$2.2 \times 10^6$						
	$\Sigma^0\bar{\Lambda}^0$ (spec,ex,pen)		$6.3 \times 10^{-6}$	$2.2 \times 10^6$						
$\bar{b} \rightarrow \bar{u}c\bar{d}$	$\Sigma_c^{++}\bar{\Delta}^{--}$ (ex)	-0.0301	$2.6 \times 10^{-7}$	$4.2 \times 10^7$						
	$\Xi_c^+\bar{\Sigma}^-$ (ex)		$1.3 \times 10^{-7}$	$8.2 \times 10^7$						
	$\Omega_c^0\bar{\Xi}^0$ (ex)		$6.3 \times 10^{-8}$	$1.7 \times 10^8$						
	$\Xi_c^0\bar{\Sigma}^0$ (spec,ex)		$3.2 \times 10^{-7}$	$3.3 \times 10^7$						
	$\Xi_c^0\bar{\Lambda}^0$ (spec,ex)		$3.2 \times 10^{-7}$	$3.3 \times 10^7$						
	$\Sigma_c^0\bar{n}$ (spec,ex)		$6.3 \times 10^{-7}$	$1.7 \times 10^7$						
	$\Sigma_c^0\bar{\Delta}^0$ (spec,ex)		$6.3 \times 10^{-7}$	$1.7 \times 10^7$						
	$\Lambda_c^+\bar{p}$ (spec,ex)		$6.3 \times 10^{-7}$	$1.7 \times 10^7$						
	$\Lambda_c^+\bar{\Delta}^-$ (spec,ex)		$6.3 \times 10^{-7}$	$1.7 \times 10^7$						
	$\Sigma_c^+\bar{p}$ (spec,ex)		$6.3 \times 10^{-7}$	$1.7 \times 10^7$						
	$\Sigma_c^+\bar{\Delta}^-$ (spec,ex)		$6.3 \times 10^{-7}$	$1.7 \times 10^7$						
	$\bar{b} \rightarrow \bar{c}u\bar{d}$		$\Delta^{++}\bar{\Sigma}_c^-$ (ex)	-0.0188			$5.9 \times 10^{-4}$	$7.1 \times 10^7$		
			$\Sigma^+\bar{\Xi}_c^-$ (ex)				$3.0 \times 10^{-4}$	$1.4 \times 10^8$		
			$\Xi^0\bar{\Omega}_c^0$ (ex)				$1.5 \times 10^{-4}$	$2.8 \times 10^8$		
			$n\bar{\Sigma}_c^0$ (spec,ex)				$1.5 \times 10^{-3}$	$2.8 \times 10^7$		
$\Delta^0\bar{\Sigma}_c^0$ (spec,ex)		$1.5 \times 10^{-3}$	$2.8 \times 10^7$							
$\Sigma^0\bar{\Xi}_c^0$ (spec,ex)		$7.4 \times 10^{-4}$	$5.6 \times 10^7$							
$\Lambda^0\bar{\Xi}_c^0$ (spec,ex)		$7.4 \times 10^{-4}$	$5.6 \times 10^7$							
$p\bar{\Sigma}_c^-$ (spec,ex)		$1.5 \times 10^{-3}$	$2.8 \times 10^7$							
$\Delta^+\bar{\Sigma}_c^-$ (spec,ex)		$1.5 \times 10^{-3}$	$2.8 \times 10^7$							
$p\bar{\Lambda}_c^-$ (spec,ex)		$1.5 \times 10^{-3}$	$2.8 \times 10^7$							
$\Delta^+\bar{\Lambda}_c^-$ (spec,ex)		$1.5 \times 10^{-3}$	$2.8 \times 10^7$							
$\bar{b} \rightarrow \bar{c}c\bar{d}$		* $\Sigma_c^{++}\bar{\Sigma}_c^-$ (ex)	0.479		$3.0 \times 10^{-3}$	$9.0 \times 10^3$				
		* $\Xi_c^+\bar{\Xi}_c^-$ (ex)			$1.5 \times 10^{-3}$	$1.7 \times 10^6$				
		* $\Omega_c^0\bar{\Omega}_c^0$ (ex)			$7.5 \times 10^{-6}$	$3.5 \times 10^6$				
		* $\Sigma_c^0\bar{\Sigma}_c^0$ (spec,ex,pen)			$7.5 \times 10^{-3}$	$3.5 \times 10^3$				
	* $\Xi_c^0\bar{\Xi}_c^0$ (spec,ex,pen)	$3.8 \times 10^{-3}$		$7.0 \times 10^3$						
	* $\Sigma_c^+\bar{\Sigma}_c^-$ (spec,ex,pen)	$7.5 \times 10^{-3}$		$3.5 \times 10^3$						
	* $\Lambda_c^+\bar{\Lambda}_c^-$ (spec,ex,pen)	$7.5 \times 10^{-3}$		$3.5 \times 10^3$						
	* $\Sigma_c^+\bar{\Lambda}_c^-$ (spec,ex,pen)	$7.5 \times 10^{-3}$		$3.5 \times 10^3$						
	* $\Lambda_c^+\bar{\Sigma}_c^-$ (spec,ex,pen)	$7.5 \times 10^{-3}$		$3.5 \times 10^3$						

注: spec—旁观者图, ex—W 交换图, pen—企鹅图。

$$\mathcal{A}_{C_{=+1}} \approx \frac{2}{1+z^2} \cdot \frac{-z \operatorname{Im} \lambda}{1+z^2} = \frac{2}{1+z^2} C_f. \quad (16)$$

在  $B_s-\bar{B}_s$  系统中, 混合参数  $z = (\Delta m/\Gamma)_{B_s}$  比 1 大得多. 取  $B = 1$ ,  $f_{B_s} = 0.11 \text{ GeV}$ ,  $m_t = 100 \text{ GeV}$ , 我们算得  $z \sim 5.5^{[3]}$ . 因而, 式(16)中的因子  $2/(1+z^2)$  是一个小量, 这会把  $N_{b\bar{b}}$  值提高一个数量级以上, 从而使得在  $B_s$  衰变中检验 CP 破坏更为困难. 综上所述, 我们将不计算  $B_s$  情形的  $\mathcal{A}_{C_{=+1}}$  及其  $N_{b\bar{b}}$ .

### 三、 $B^0-\bar{B}^0$ 对在 $Z^0$ 共振峰非相干产生

在  $Z^0$  共振峰,  $b\bar{b}$  对将产生并强子化为  $B_{d,s}^0$ ,  $B_{\bar{u}}^-$  和  $\bar{B}_{d,s}^0$ ,  $B_{\bar{u}}^+$ . 这时,  $B\bar{B}$  对的产生是非相干的. 因此, 我们可以通过鉴别  $B_{\bar{u}}^+(B_{\bar{u}}^-)$  来确定所探测的中性 B 介子是  $\bar{B}_d^0 = b\bar{d}(B_d^0 = \bar{b}d)$  或者  $\bar{B}_s^0 = b\bar{s}(B_s^0 = \bar{b}s)$ . 在这种情况下, 定义 CP 不对称性  $C_f^{[2,3]}$

$$C_f = \frac{\Gamma(B_{\text{phys}}^0 \rightarrow f) - \Gamma(\bar{B}_{\text{phys}}^0 \rightarrow \bar{f})}{\Gamma(B_{\text{phys}}^0 \rightarrow f) + \Gamma(\bar{B}_{\text{phys}}^0 \rightarrow \bar{f})}. \quad (17)$$

其中,  $\Gamma(B_{\text{phys}}^0 \rightarrow f)$  是对时间积分的部分衰变率, 从  $B^0(z=0)$  衰变到具体末态  $f$  而得. 假设  $|A(B_{d,s}^0 \rightarrow f)| = |A(\bar{B}_{d,s}^0 \rightarrow \bar{f})|$ . 由于  $\Delta\Gamma/\Delta m \ll 1$ ,  $4\pi(m_c/m_t)^2 \operatorname{Im}(V_{cb}V_{ca}^*/V_{\bar{c}b}V_{\bar{c}a}^*) \ll 1$  ( $\alpha = d$  或  $s$ ), 式(17)简化为<sup>[3]</sup>

$$C_f \approx - \frac{2z \operatorname{Im} \lambda}{2 + z^2(1 + |x|^2)}. \quad (18)$$

这里  $x$  与  $\lambda$  已分别定义在式(4)中.

在  $Z^0$  共振峰探测 CP 破坏效应所需的  $b\bar{b}$  对数目(三个标准偏差)为

$$N_{b\bar{b}} = \frac{9}{C_f^2} \cdot \frac{1}{\sigma(B_{\bar{u}}^+ B_{\bar{u}}^-) B(f + \bar{f}) \varepsilon}. \quad (19)$$

$\varepsilon$  为探测效率,  $\sigma(B_{\bar{u}}^+ B_{\bar{u}}^-) = 4/25$ ,  $\sigma(B_{\bar{u}}^0 B_{\bar{u}}^0) = 2/25^{[3]}$ . 有效分支比

$$\begin{aligned} B(f + \bar{f}) &= B(B_{\text{phys}}^0 \rightarrow f) + B(\bar{B}_{\text{phys}}^0 \rightarrow \bar{f}) \\ &\approx B(B_{d,s,\text{phys}}^0 \rightarrow f) \cdot \frac{2 + z^2(1 + |x|^2)}{1 + z^2}. \end{aligned} \quad (20)$$

其中  $|x|^2$  与  $\operatorname{Im} \lambda$  的表达式见参考文献[3]中的表 2 里.

类似于本文的第二节, 我们可以估算  $B_{\bar{u}}^+$  与  $B_{\bar{u}}^0$  具体衰变模式的分支比, 从而计算  $B_{\bar{u}}^+-\bar{B}_{\bar{u}}^0$  与  $B_{\bar{u}}^0-\bar{B}_{\bar{u}}^0$  体系的  $\varepsilon N_{b\bar{b}}$  与  $N_{b\bar{b}}$ . 我们将有关的结果并列于表 2 和表 3 中.

从表 2 可以看到, 有希望检验 CP 破坏的那些衰变道与  $B_{\bar{u}}^0\bar{B}_{\bar{u}}^0$  对在  $\Upsilon(4S)$  共振峰以上产生时的情形相同. 然而, 在  $Z^0$  峰, 所需的事例数 ( $N_{b\bar{b}}$  与  $\varepsilon N_{b\bar{b}}$ ) 要比在  $\Upsilon(4S)$  共振峰以上做实验所需的事例数大一个数量级左右. 衰变模式前以星号标记的意义与表 1 相同.

对  $B_s$  衰变, 我们还不知道具体的探测效率. 所以我们只在表 3 中给出了  $\varepsilon N_{b\bar{b}}$  值. 有希望的衰变(具有较小的  $\varepsilon N_{b\bar{b}}$  值)是

$$B_s^0, \bar{B}_s^0 \rightarrow \bar{E}_c^+ \Sigma^-, \bar{E}_c^0 \bar{\Sigma}^0, \bar{E}_c^0 \bar{\Lambda}^0, \bar{Q}_c^0 \bar{E}^0, \Sigma^+ \bar{E}_c^-, \Sigma^0 \bar{E}_c^0, \Lambda^0 \bar{E}_c^0, \bar{E}^0 \bar{Q}^0. \quad (21)$$

对于这些过程,  $\varepsilon N_{b\bar{b}} \lesssim 10^4$ .

表2  $B_d^0, B_s^0$  二体重子衰变道;  $C_j$ ; 分支比;  $b\bar{b}$  数目

Quark decay	$B_{d,phys}^0 \rightarrow f$	$C_j$	$B(B_{d,pure}^0 \rightarrow f)$	$\delta N_{b\bar{b}}$	$\theta(\%)$	$N_{b\bar{b}}$				
$\bar{b} \rightarrow \bar{u}d$	$\Delta^{++}\bar{\Delta}^{--}$ (ex)	0.469	$5.0 \times 10^{-6}$	$2.5 \times 10^7$	12	$2.1 \times 10^8$				
	$\Sigma^+\bar{\Sigma}^-$ (ex)		$2.5 \times 10^{-6}$	$5.0 \times 10^7$						
	$\Xi^0\bar{\Xi}^0$ (ex)		$1.3 \times 10^{-6}$	$1.0 \times 10^8$						
	$p\bar{p}$ (spec,ex,pen)		$1.3 \times 10^{-5}$	$1.0 \times 10^7$	45	$2.2 \times 10^7$				
	$\Delta^+\bar{\Delta}^-$ (spec,ex,pen)		$1.3 \times 10^{-5}$	$1.0 \times 10^7$						
	$\Delta^+\bar{p}$ (spec,ex,pen)		$1.3 \times 10^{-5}$	$1.0 \times 10^7$						
	$p\bar{\Delta}^-$ (spec,ex,pen)		$1.3 \times 10^{-5}$	$1.0 \times 10^7$						
	$n\bar{n}$ (spec,ex,pen)		$1.3 \times 10^{-5}$	$1.0 \times 10^7$						
	$\Delta^0\bar{\Delta}^0$ (spec,ex,pen)		$1.3 \times 10^{-5}$	$1.0 \times 10^7$						
	$\Delta^0\bar{n}$ (spec,ex,pen)		$1.3 \times 10^{-5}$	$1.0 \times 10^7$	1.3	$7.1 \times 10^8$				
	$n\bar{\Delta}^0$ (spec,ex,pen)		$1.3 \times 10^{-5}$	$1.0 \times 10^7$						
	$\Lambda^0\bar{\Lambda}^0$ (spec,ex,pen)		$6.3 \times 10^{-6}$	$2.1 \times 10^7$						
	$\Sigma^0\bar{\Sigma}^0$ (spec,ex,pen)		$6.3 \times 10^{-6}$	$2.1 \times 10^7$						
	$\Lambda^0\bar{\Sigma}^0$ (spec,ex,pen)		$6.3 \times 10^{-6}$	$2.1 \times 10^7$						
	$\Sigma^0\bar{\Lambda}^0$ (spec,ex,pen)		$6.3 \times 10^{-6}$	$2.1 \times 10^7$						
$\bar{b} \rightarrow \bar{u}c\bar{d}$	$\Sigma_c^{++}\bar{\Delta}^{--}$ (ex)	-0.0524	$2.6 \times 10^{-7}$	$1.0 \times 10^8$						
	$\Xi_c^+\bar{\Sigma}^-$ (ex)		$1.3 \times 10^{-7}$	$2.0 \times 10^8$						
	$\Omega_c^0\bar{\Xi}^0$ (ex)		$6.3 \times 10^{-8}$	$4.0 \times 10^8$						
	$\Xi_c^0\bar{\Sigma}^0$ (spec,ex)		$3.2 \times 10^{-7}$	$8.0 \times 10^7$						
	$\Xi_c^0\bar{\Lambda}^0$ (spec,ex)		$3.2 \times 10^{-7}$	$8.0 \times 10^7$						
	$\Sigma_c^+\bar{n}$ (spec,ex)		$6.3 \times 10^{-7}$	$4.0 \times 10^7$						
	$\Sigma_c^0\bar{\Delta}^0$ (spec,ex)		$6.3 \times 10^{-7}$	$4.0 \times 10^7$						
	$\Lambda_c^+\bar{p}$ (spec,ex)		$6.3 \times 10^{-7}$	$4.0 \times 10^7$						
	$\Lambda_c^+\bar{\Delta}^-$ (spec,ex)		$6.3 \times 10^{-7}$	$4.0 \times 10^7$						
	$\Sigma_c^+\bar{p}$ (spec,ex)		$6.3 \times 10^{-7}$	$4.0 \times 10^7$						
	$\Sigma_c^+\bar{\Delta}^-$ (spec,ex)		$6.3 \times 10^{-7}$	$4.0 \times 10^7$						
	$\bar{b} \rightarrow \bar{c}u\bar{d}$		$\Delta^{++}\bar{\Sigma}_c^{--}$ (ex)	-0.0103			$5.9 \times 10^{-4}$	$5.4 \times 10^8$		
			$\Sigma^+\bar{\Sigma}_c^-$ (ex)				$3.0 \times 10^{-4}$	$1.1 \times 10^9$		
			$\Xi^0\bar{\Omega}_c^0$ (ex)				$1.5 \times 10^{-4}$	$2.1 \times 10^9$		
			$n\bar{\Sigma}_c^0$ (spec,ex)				$1.5 \times 10^{-3}$	$2.1 \times 10^8$		
$\Delta^0\bar{\Sigma}_c^0$ (spec,ex)		$1.5 \times 10^{-3}$	$2.1 \times 10^8$							
$\Sigma^0\bar{\Xi}_c^0$ (spec,ex)		$7.4 \times 10^{-4}$	$4.2 \times 10^8$							
$\Lambda^0\bar{\Xi}_c^0$ (spec,ex)		$7.4 \times 10^{-4}$	$4.2 \times 10^8$							
$p\bar{\Sigma}_c^-$ (spec,ex)		$1.5 \times 10^{-3}$	$2.1 \times 10^8$							
$\Delta^+\bar{\Sigma}_c^-$ (spec,ex)		$1.5 \times 10^{-3}$	$2.1 \times 10^8$							
$p\bar{\Lambda}_c^-$ (spec,ex)		$1.5 \times 10^{-3}$	$2.1 \times 10^8$							
$\Delta^+\bar{\Lambda}_c^-$ (spec,ex)		$1.5 \times 10^{-3}$	$2.1 \times 10^8$							
$\bar{b} \rightarrow \bar{c}c\bar{d}$		* $\Sigma_c^{++}\bar{\Sigma}_c^{--}$ (ex)	0.357		$3.0 \times 10^{-5}$	$7.5 \times 10^6$				
		* $\Xi_c^+\bar{\Sigma}_c^-$ (ex)			$1.5 \times 10^{-5}$	$1.4 \times 10^7$				
		$\Omega_c^0\bar{\Omega}_c^0$ (ex)			$7.5 \times 10^{-6}$	$2.8 \times 10^7$				
		$\Sigma_c^+\bar{\Sigma}_c^0$ (spec,ex,pen)			$7.5 \times 10^{-5}$	$2.8 \times 10^6$				
	$\Xi_c^0\bar{\Xi}_c^0$ (spec,ex,pen)	$3.8 \times 10^{-5}$		$5.6 \times 10^6$						
	* $\Sigma_c^+\bar{\Sigma}_c^-$ (spec,ex,pen)	$7.5 \times 10^{-5}$		$2.8 \times 10^6$						
	* $\Lambda_c^+\bar{\Lambda}_c^-$ (spec,ex,pen)	$7.5 \times 10^{-5}$		$2.8 \times 10^6$						
	* $\Sigma_c^+\bar{\Lambda}_c^-$ (spec,ex,pen)	$7.5 \times 10^{-5}$		$2.8 \times 10^6$						
	* $\Lambda_c^+\bar{\Sigma}_c^-$ (spec,ex,pen)	$7.5 \times 10^{-5}$		$2.8 \times 10^6$						

表 3  $B_s^0, \bar{B}_s^0$  二体重子衰变道;  $C_f$ ; 分支比;  $b\bar{b}$  数目

Quark decay	$B_{s,phys}^0 \rightarrow f$	$C_f$	$B(B_{s,pure}^0 \rightarrow f)$	$\delta N_{b\bar{b}}$		
$\bar{b} \rightarrow \bar{u}c\bar{s}$	$\Delta^{++}\bar{\Delta}^{--}$ (ex)	0.14	$3.6 \times 10^{-7}$	$8.0 \times 10^9$		
	$\Delta^+\bar{\Delta}^-$ (ex)		$3.6 \times 10^{-7}$	$8.0 \times 10^9$		
	$p\bar{p}$ (ex)		$3.6 \times 10^{-7}$	$8.0 \times 10^9$		
	$\Delta^+\bar{p}$ (ex)		$3.6 \times 10^{-7}$	$8.0 \times 10^9$		
	$p\bar{\Delta}^-$ (ex)		$3.6 \times 10^{-7}$	$8.0 \times 10^9$		
	$\Delta^0\bar{\Delta}^0$ (ex)		$3.6 \times 10^{-7}$	$8.0 \times 10^9$		
	$n\bar{n}$ (ex)		$3.6 \times 10^{-7}$	$8.0 \times 10^9$		
	$\Delta^0\bar{n}$ (ex)		$3.6 \times 10^{-7}$	$8.0 \times 10^9$		
	$n\bar{\Delta}^0$ (ex)		$3.6 \times 10^{-7}$	$8.0 \times 10^9$		
	$\Sigma^+\bar{\Sigma}^-$ (spec,ex,pen)		$9.0 \times 10^{-7}$	$3.2 \times 10^9$		
	$\Xi^0\bar{\Xi}^0$ (spec,ex,pen)		$4.5 \times 10^{-7}$	$6.5 \times 10^9$		
	$\Lambda^0\bar{\Lambda}^0$ (spec,ex,pen)		$9.0 \times 10^{-7}$	$3.2 \times 10^9$		
	$\Sigma^0\bar{\Sigma}^0$ (spec,ex,pen)		$9.0 \times 10^{-7}$	$3.2 \times 10^9$		
	$\Lambda^0\bar{\Sigma}^0$ (spec,ex,pen)		$9.0 \times 10^{-7}$	$3.2 \times 10^9$		
	$\Sigma^0\bar{\Lambda}^0$ (spec,ex,pen)		$9.0 \times 10^{-7}$	$3.2 \times 10^9$		
	$\bar{b} \rightarrow \bar{u}c\bar{s}$		$\Sigma_c^{++}\bar{\Delta}^{--}$ (ex)	0.12	$6.4 \times 10^{-6}$	$2.1 \times 10^8$
			$\Lambda_c^+\bar{p}$ (ex)		$6.4 \times 10^{-6}$	$2.1 \times 10^8$
$\Lambda_c^+\bar{\Delta}^-$ (ex)		$6.4 \times 10^{-6}$	$2.1 \times 10^8$			
$\Sigma_c^+\bar{p}$ (ex)		$6.4 \times 10^{-6}$	$2.1 \times 10^8$			
$\Sigma_c^+\bar{\Delta}^-$ (ex)		$6.4 \times 10^{-6}$	$2.1 \times 10^8$			
$\Sigma_c^0\bar{n}$ (ex)		$6.4 \times 10^{-6}$	$2.1 \times 10^8$			
$\Sigma_c^0\bar{\Delta}^0$ (ex)		$6.4 \times 10^{-6}$	$2.1 \times 10^8$			
$\Xi_c^+\bar{\Sigma}^-$ (spec,ex)		$1.6 \times 10^{-5}$	$8.2 \times 10^7$			
$\Xi_c^+\bar{\Sigma}^0$ (spec,ex)		$1.6 \times 10^{-5}$	$8.2 \times 10^7$			
$\Xi_c^+\bar{\Lambda}^0$ (spec,ex)		$1.6 \times 10^{-5}$	$8.2 \times 10^7$			
$\Omega_c^0\bar{\Xi}^0$ (spec,ex)		$8.0 \times 10^{-6}$	$1.6 \times 10^8$			
$\bar{b} \rightarrow \bar{c}u\bar{s}$	$\Delta^{++}\bar{\Sigma}_c^-$ (ex)	0.11	$3.3 \times 10^{-5}$	$2.2 \times 10^8$		
	$p\bar{\Sigma}_c^-$ (ex)		$3.3 \times 10^{-5}$	$2.2 \times 10^8$		
	$\Delta^+\bar{\Sigma}_c^-$ (ex)		$3.3 \times 10^{-5}$	$2.2 \times 10^8$		
	$p\bar{\Lambda}_c^-$ (ex)		$3.3 \times 10^{-5}$	$2.2 \times 10^8$		
	$\Delta^+\bar{\Lambda}_c^-$ (ex)		$3.3 \times 10^{-5}$	$2.2 \times 10^8$		
	$n\bar{\Sigma}_c^-$ (ex)		$3.3 \times 10^{-5}$	$2.2 \times 10^8$		
	$\Delta^0\bar{\Sigma}_c^-$ (ex)		$3.3 \times 10^{-5}$	$2.2 \times 10^8$		
	$\Sigma^+\bar{\Xi}_c^-$ (spec,ex)		$8.4 \times 10^{-5}$	$9.0 \times 10^7$		
	$\Sigma^0\bar{\Xi}_c^-$ (spec,ex)		$8.4 \times 10^{-5}$	$9.0 \times 10^7$		
	$\Lambda^0\bar{\Xi}_c^-$ (spec,ex)		$8.4 \times 10^{-5}$	$9.0 \times 10^7$		
	$\Xi^0\bar{\Omega}_c^-$ (spec,ex)		$4.2 \times 10^{-5}$	$1.8 \times 10^8$		
$\bar{b} \rightarrow \bar{c}c\bar{s}$	* $\Sigma_c^{++}\bar{\Sigma}_c^-$ (ex)	-0.0076	$5.9 \times 10^{-4}$	$1.6 \times 10^9$		
	* $\Lambda_c^+\bar{\Lambda}_c^-$ (ex)		$5.9 \times 10^{-4}$	$1.6 \times 10^9$		
	* $\Sigma_c^+\bar{\Sigma}_c^-$ (ex)		$5.9 \times 10^{-4}$	$1.6 \times 10^9$		
	* $\Lambda_c^+\bar{\Sigma}_c^-$ (ex)		$5.9 \times 10^{-4}$	$1.6 \times 10^9$		
	* $\Sigma_c^+\bar{\Lambda}_c^-$ (ex)		$5.9 \times 10^{-4}$	$1.6 \times 10^9$		
	$\Sigma_c^0\bar{\Sigma}_c^0$ (ex)		$5.9 \times 10^{-4}$	$1.6 \times 10^9$		
	* $\Xi_c^+\bar{\Xi}_c^-$ (spec,ex,pen)		$1.5 \times 10^{-3}$	$6.5 \times 10^8$		
	$\Xi_c^0\bar{\Xi}_c^0$ (spec,ex,pen)		$1.5 \times 10^{-3}$	$6.5 \times 10^8$		
$\Omega_c^0\bar{\Omega}_c^0$ (spec,ex,pen)	$7.4 \times 10^{-4}$	$1.2 \times 10^9$				



比较式(14)与(21),我们发现,每个  $B_s^0$  衰变道都含有一个带粲数的重子,而有一些  $B_d^0$  衰变则不含粲数。这是两者的区别之一。

## 四、讨 论

我们已经研究了两种检验  $B_s^0$ ,  $B_d^0$  重子衰变中 CP 破坏效应的实验途径: (1) 正负电子在  $\Upsilon(4S)$  共振峰以上对称对撞产生  $C = +1$  的  $B^0\bar{B}^0$  对, 以及 (2) 在  $Z^0$  共振峰上  $B\bar{B}$  对不相干产生。从我们的计算可知, 第一种途径更适合于  $B_s^0-\bar{B}_s^0$  衰变; 对于  $B_d^0-\bar{B}_d^0$  衰变, 采用第二种途径为好。当然, 对这两种情形, 要在实验上观测 CP 破坏都相当不容易。

本文的计算有诸多不确定因素。首先, 我们没有办法处理末态相互作用问题。目前, 理论上也没有较好的技术计算企鹅图, 所以对那些只能通过企鹅图衰变的过程, 在本文已略去未予讨论。尚未精确测定的  $KM$  矩阵参数也是造成数值计算不准确的一个主要因素。此外, 我们用以估算分支比的方法相当粗糙, 这也会带来较大误差。比如说, 有些衰变只能通过  $W$  交换图进行, 它们通常比那些以旁观者图为主的衰变要弱。但是, 如果末态强相互作用(例如再散射效应等)不能忽视的话, 相应的衰变分支比就有可能提高, 类似于  $D^0 \rightarrow \bar{K}^0\phi$  过程<sup>[12]</sup>。尽管有上面提到的不确定因素, 本文的工作仍可以为将来的实验研究提供必要的参考。

## 参 考 文 献

- [1] ARGUS Collaboration, H. Albrecht et al., *Phys. Lett.*, **B192**(1987), 245; CLEO Collaboration, M. Artuso et al., *Phys. Rev. Lett.*, **62**(1989), 2233.
- [2] I. I. Bigi and A. I. Sanda, *Nucl. Phys.*, **B193**(1981), 85; *Phys. Rev.* D29(1984), 1393; L. Wolfenstein, *Nucl. Phys.*, **B246**(1984), 45; I. Dunietz and J. L. Rosner, *Phys. Rev.*, **D34**(1986), 1404; J. F. Donoghue, J. Nakada, E. A. Daschos and D. Wyler, *Phys. Lett.*, **B195**(1987), 285; I. Dunietz and R. G. Sachs, *Phys. Rev.*, **D37**(1988), 3186; E. A. Paschos and U. Turke, *Phys. Rep.*, **C178**(1989), 145.
- [3] R. G. Sachs, Report No. EFI-85-22, Chicago, 1985 (unpublished); D. Du, I. Dunietz, and D. Wu, *Phys. Rev.*, **D34**(1986), 3414; D. Du and Z. Zhao, *Phys. Rev. Lett.*, **59**(1987), 1072.
- [4] G. Eilam, M. Gronau and J. L. Rosner, *Phys. Rev.*, **D39**(1989), 819; X. He, B. H. J. McKellar, and D. Wu, *Phys. Rev.*, **D41**(1990), 2141; D. Wu, the Proceeding of Beijing Workshop on Weak Interactions and CP Violation, 79(1989); X. Li and D. Wu, *Phys. Lett.*, **B218**(1989), 357.
- [5] I. I. Bigi et al, CP Violations, ed. by C. Jarlskog, World Scientific, Singapore, 1988; G. J. Feldman et al., High Energy Physics in the 1990's, 1988, Snowmass, ed. by S. Jensen, World Scientific Pub. Co., 1989.
- [6] P. S. Drell, Cornell preprint, CLNS 90/1024(1990).
- [7] E. A. Paschos and U. Turke, *Phys. Rep.*, **C178**(1989).
- [8] M. P. Schmidt, High Energy Physics in the 1990's, 1988, Snowmass, ed. by S. Jensen, World Scientific Pub. Co., 1989.
- [9] Review of Particle Properties, *Phys. Lett.*, **B239**(1990).
- [10] J. Hauser, Ph. D. thesis, Cal. Inst. of Tech. (1985).
- [11] CLEO Collaboration, *Phys. Rev. Lett.*, **62**(1989), 2436.
- [12] D. Fakirov and B. Stech, *Nucl. Phys.*, **B133**(1978), 315; B. Bauer and B. Stech, *Phys. Lett.*, **B152**(1985), 388; X. Y. Li, X. Q. Li and P. Wang, *Nuovo Cimento*, **100A**(1988), 693; C. H. Chang, X. H. Guo and X. Q. Li, IC/89/266.

## CP-Violating Effects in Two-Body Baryonic Decays of $B^0-\bar{B}^0$ System

DU DONGSHENG XING ZHIZHONG

(*Institute of High Energy Physics, Academia Sinica, Beijing 100039*)

### ABSTRACT

CP-violating effects in partial-decay-rate asymmetries for two-body baryonic decays of  $B_d^0-\bar{B}_d^0$  and  $B_s^0-\bar{B}_s^0$  systems are examined. We concentrate on those final states into which both  $B^0$  and  $\bar{B}^0$  can decay. Two cases are discussed in detail: one is for  $Z^0$  factory for incoherent  $B\bar{B}$  production, the other is for  $C = +1$   $B\bar{B}$  production above the  $Y(4S)$  resonance at symmetric colliders. The  $b\bar{b}$  pairs needed for testing these effects are estimated for  $3\sigma$  signature. For the decay modes  $B_d^0 \rightarrow P\bar{P}$ ,  $\Delta^{++}\bar{\Delta}^{--}$  and  $\Delta^0\bar{\Delta}^0$ ,  $N_{b\bar{b}} \sim 10^7-10^8$ .